

Fig. 1

2/43

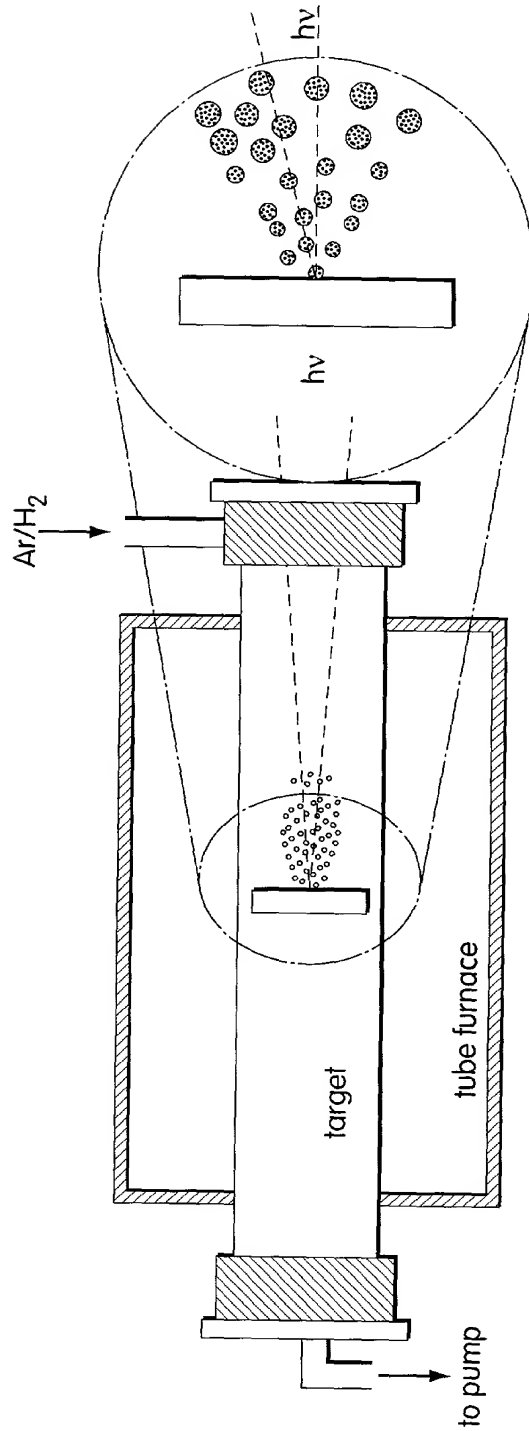


Fig. 2

20250925E550

3/43

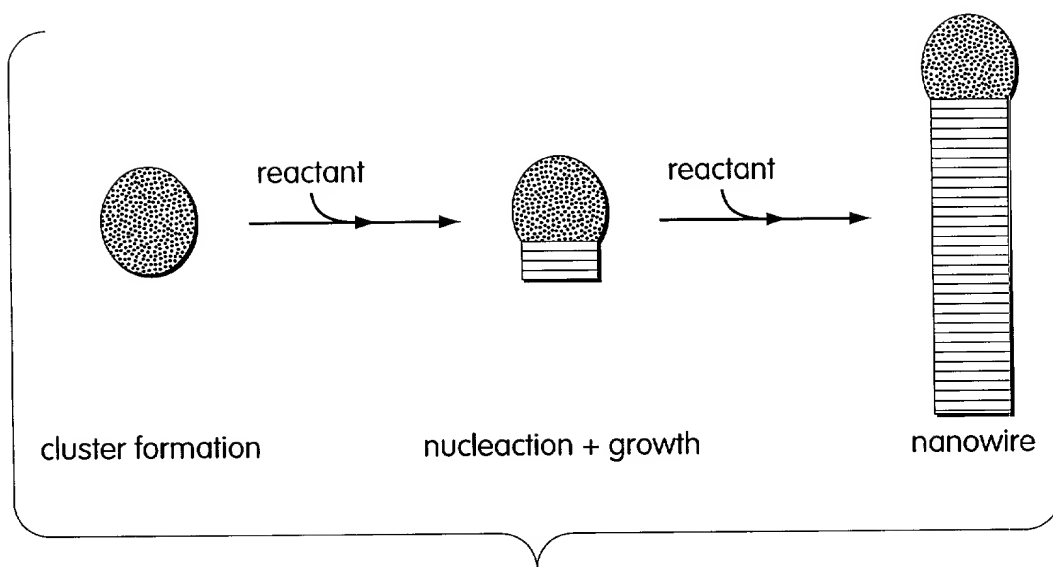


Fig. 3

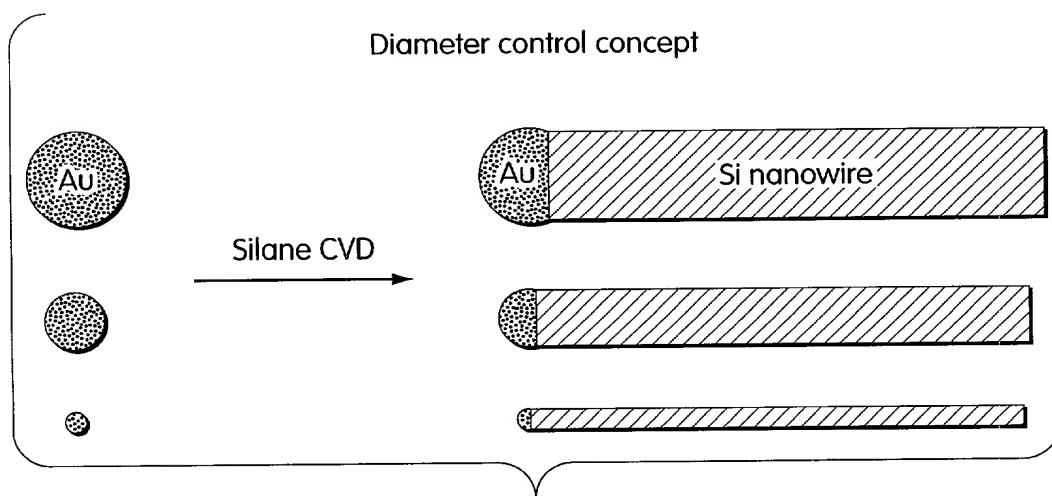


Fig. 4

4/43

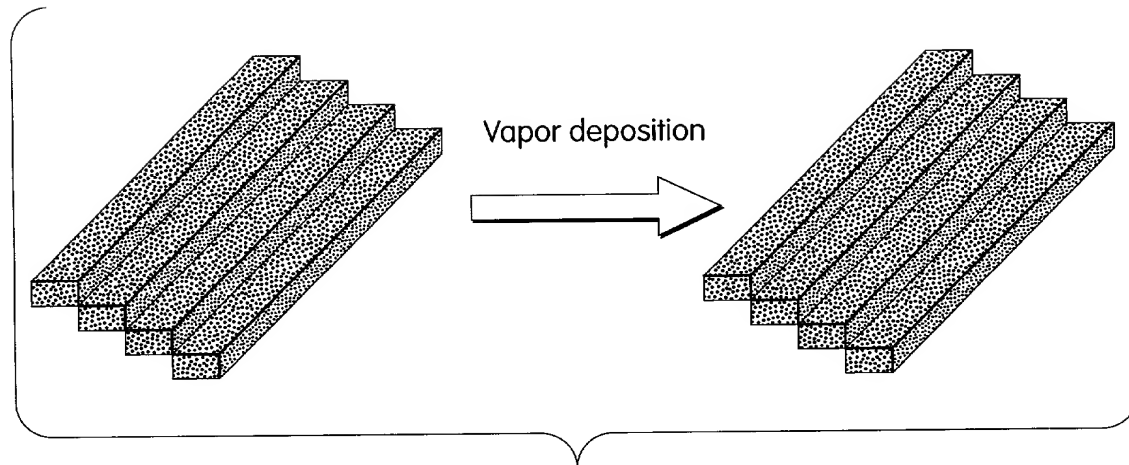


Fig. 5

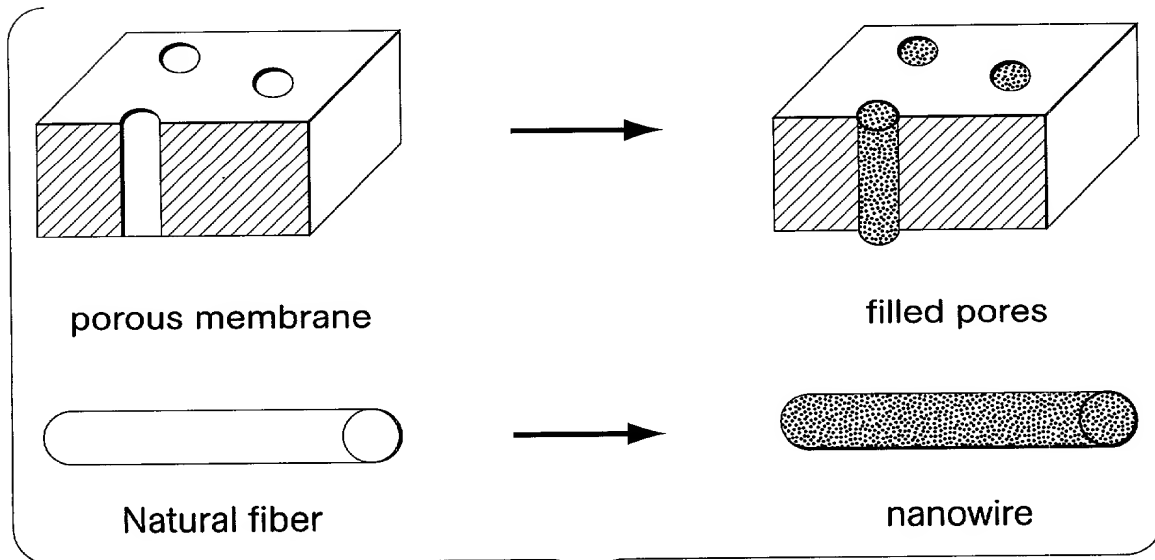


Fig. 6

5/43

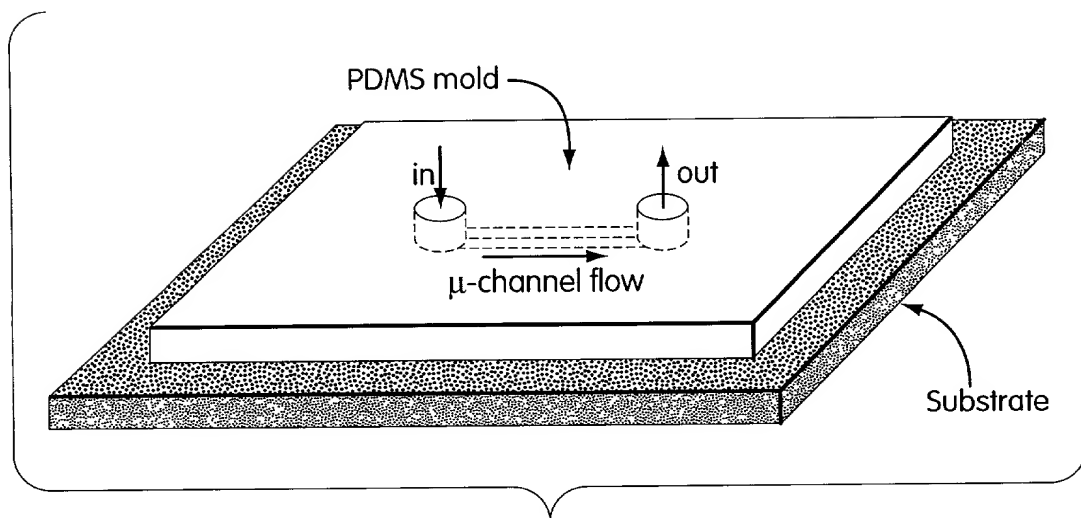


Fig. 7A

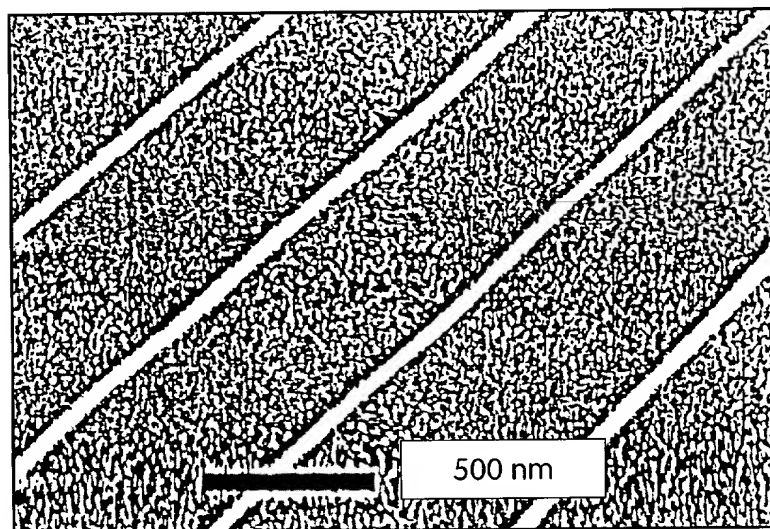
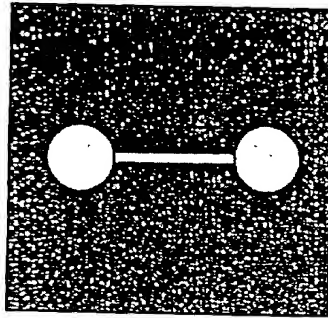


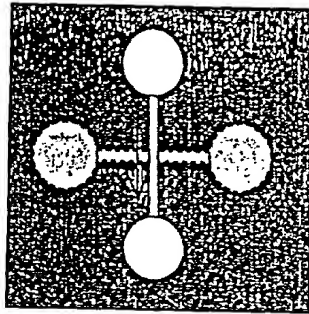
Fig. 7B

6/43



First layer

Fig. 7C



Second layer

Fig. 7D

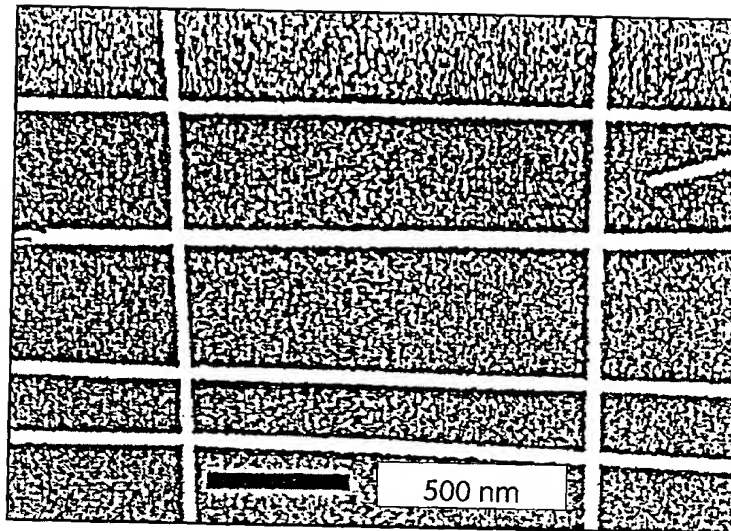


Fig. 7E

RECEIVED " 94 SEP 660

7/43

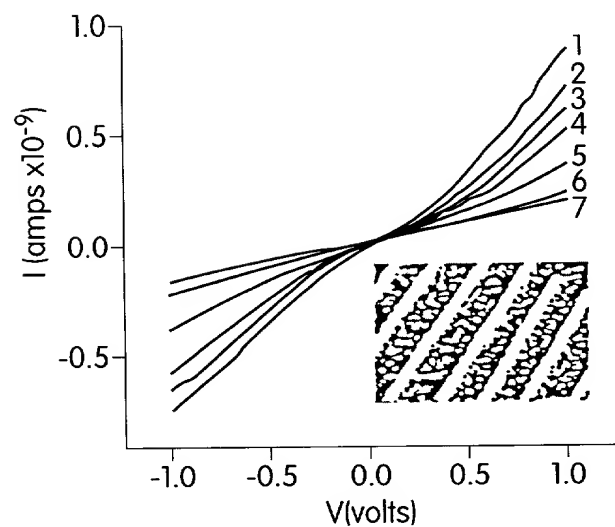


Fig. 8A

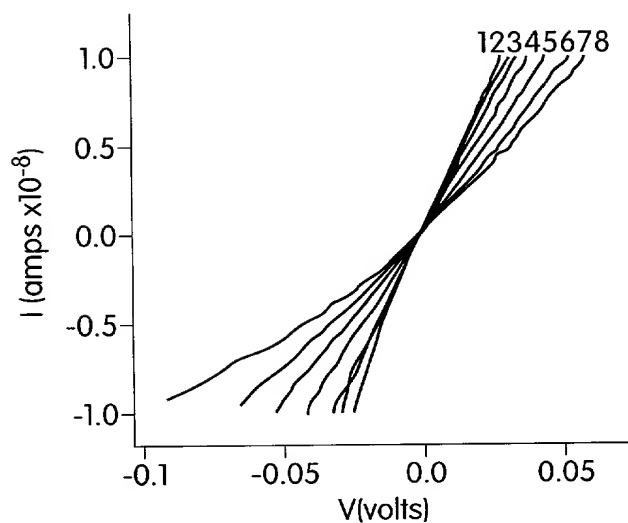


Fig. 8B

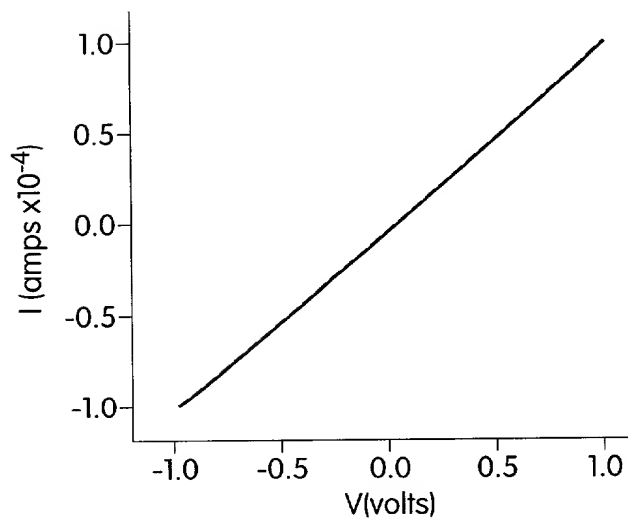


Fig. 8C

20250924 09:56:50

8/43

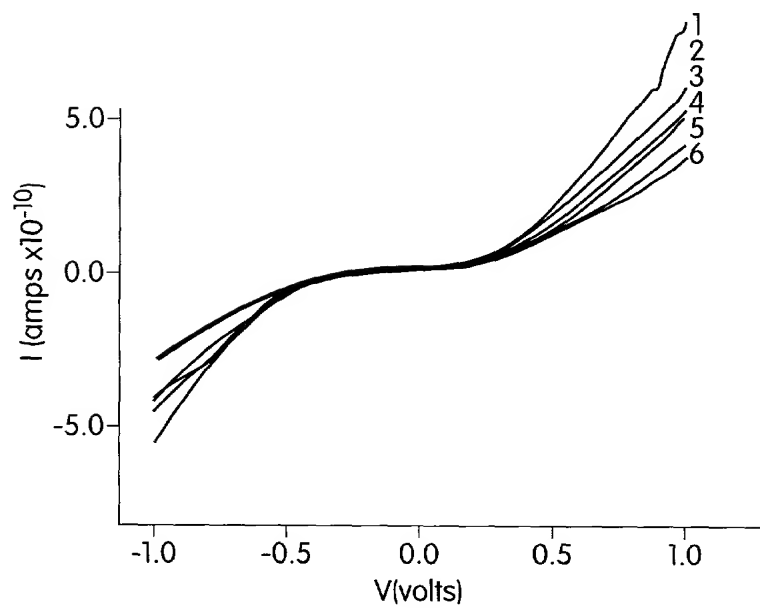


Fig. 9A

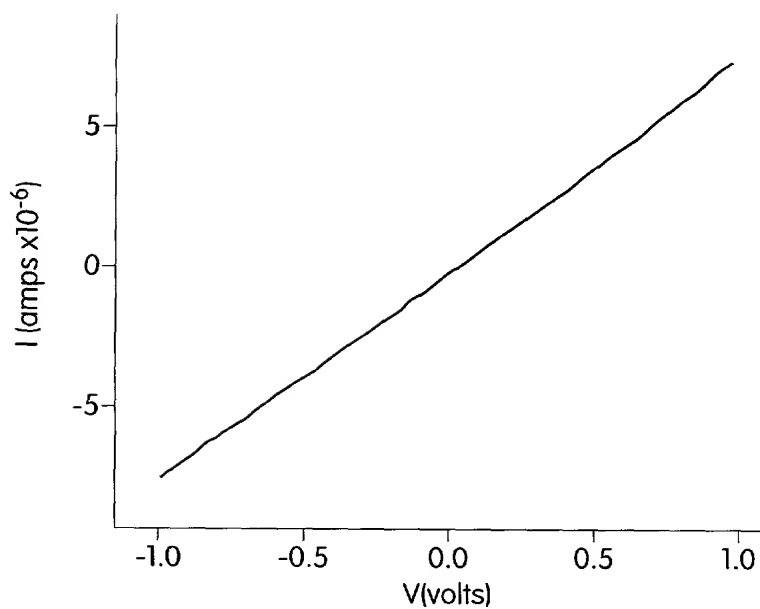


Fig. 9B



9/43

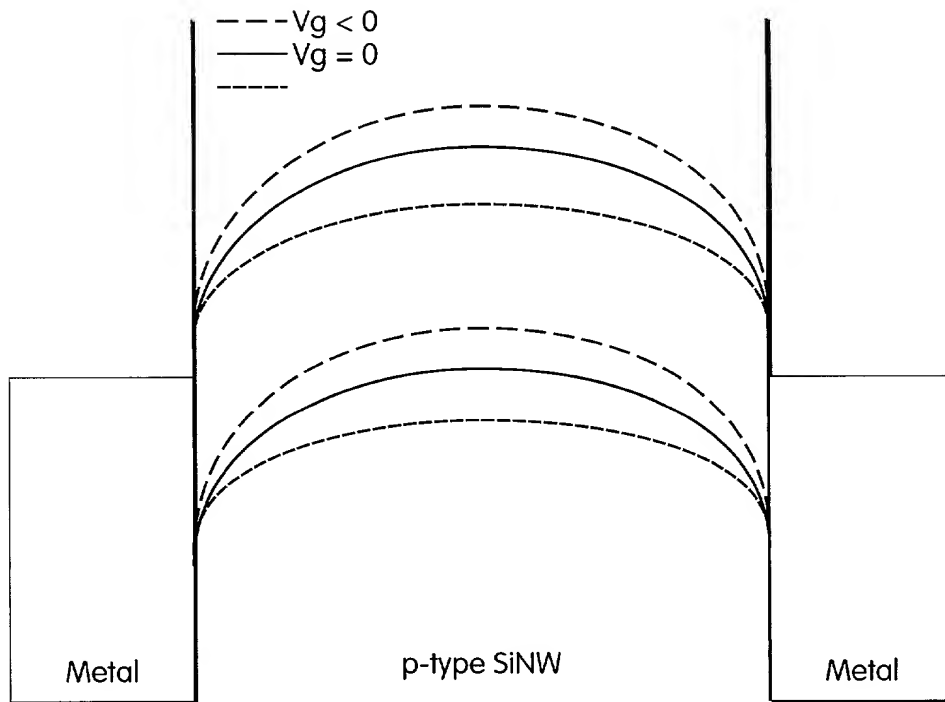


Fig. 10A

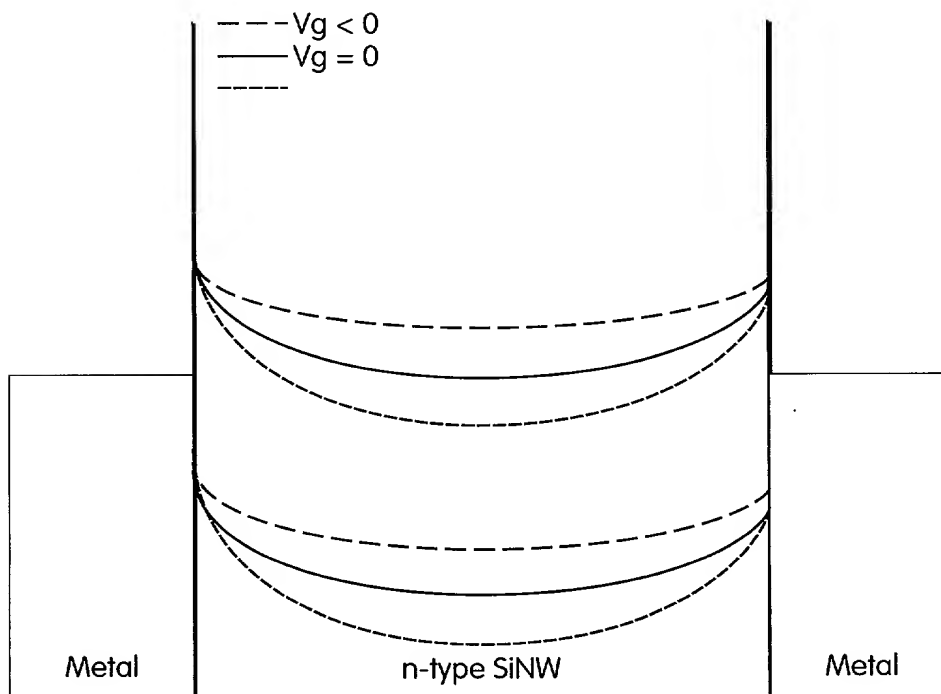


Fig. 10B

10/43

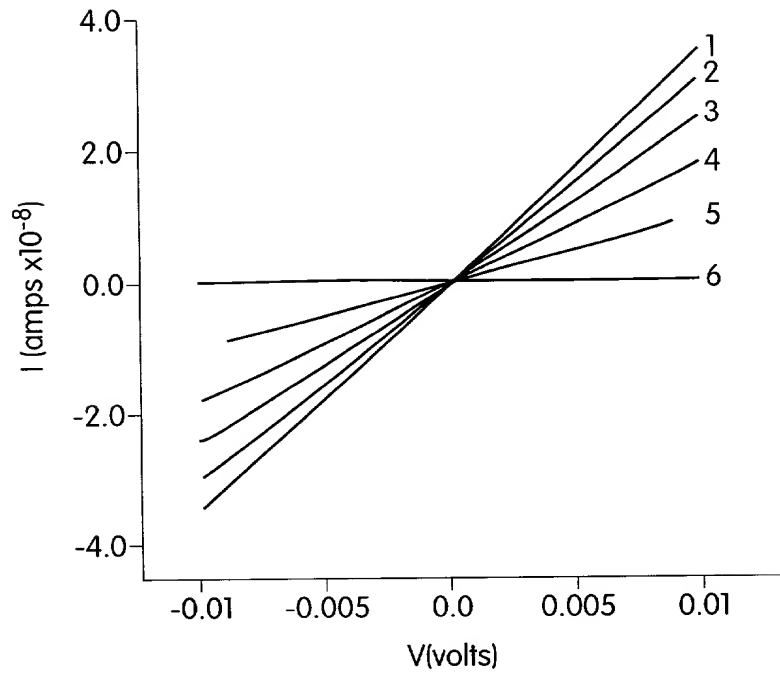


Fig. 11A

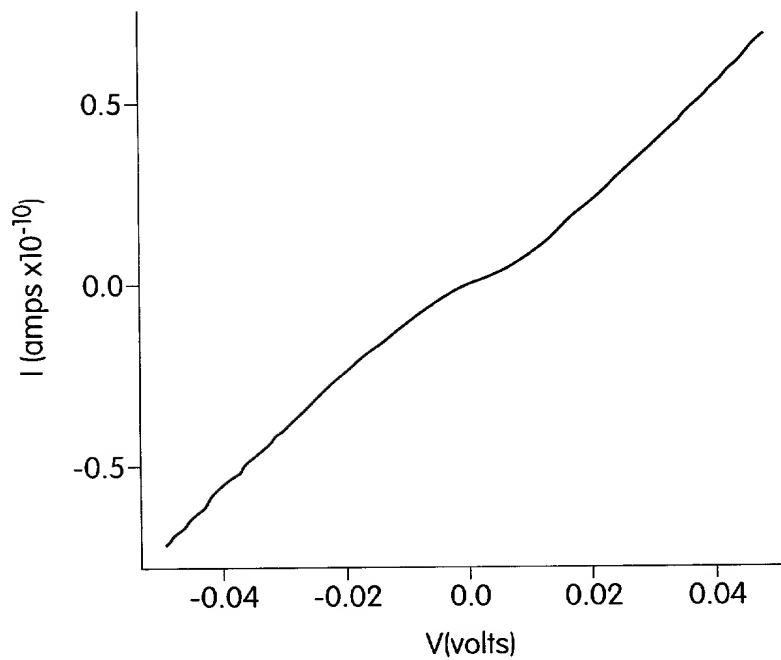


Fig. 11B

11/43

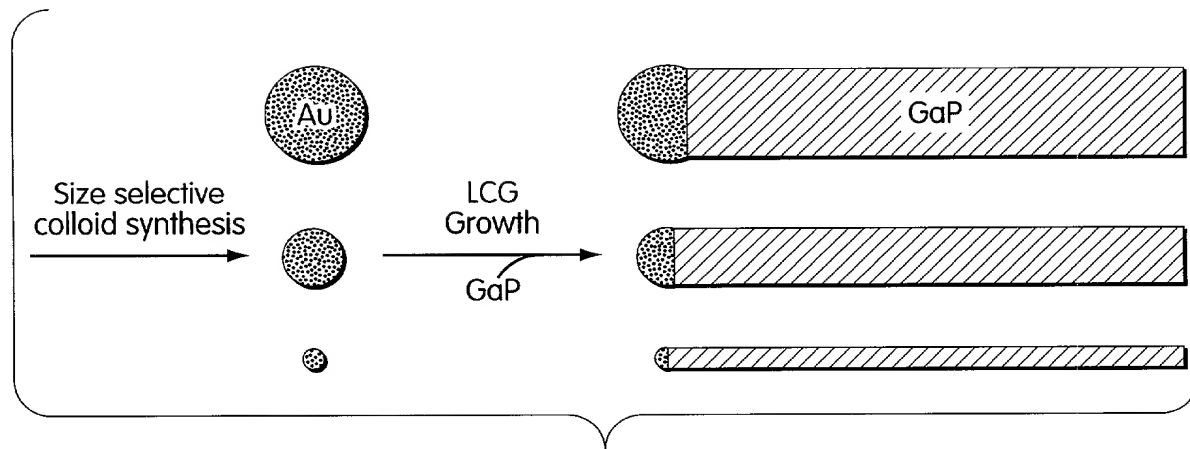


Fig. 12

12/43

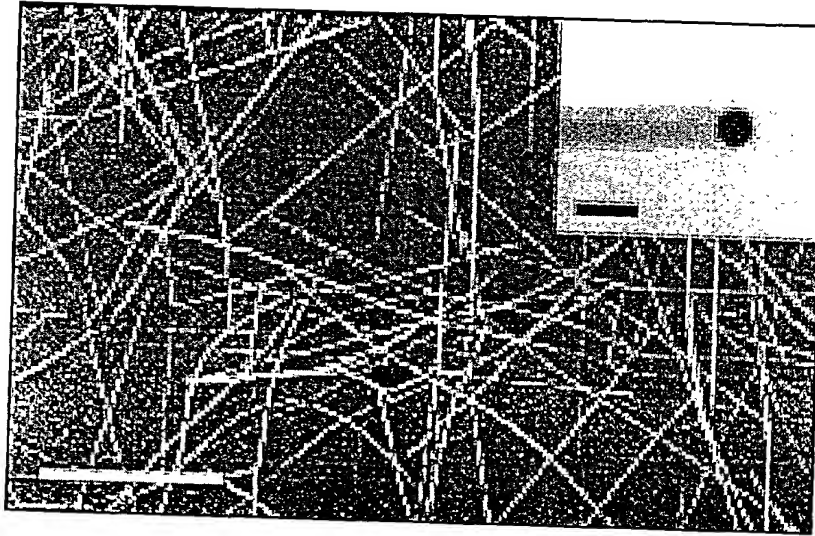


Fig. 13A

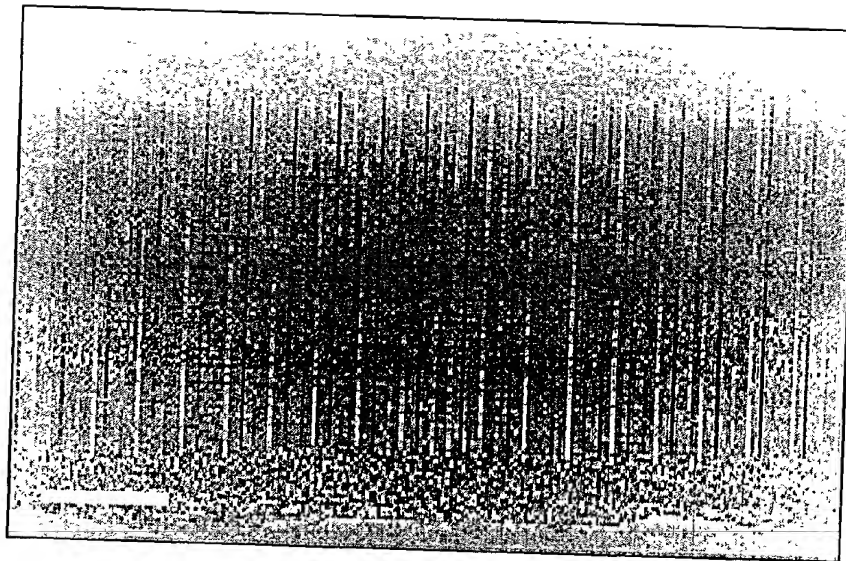


Fig. 13B

0993576-031202  
"DATED" 9/25/66

13/43

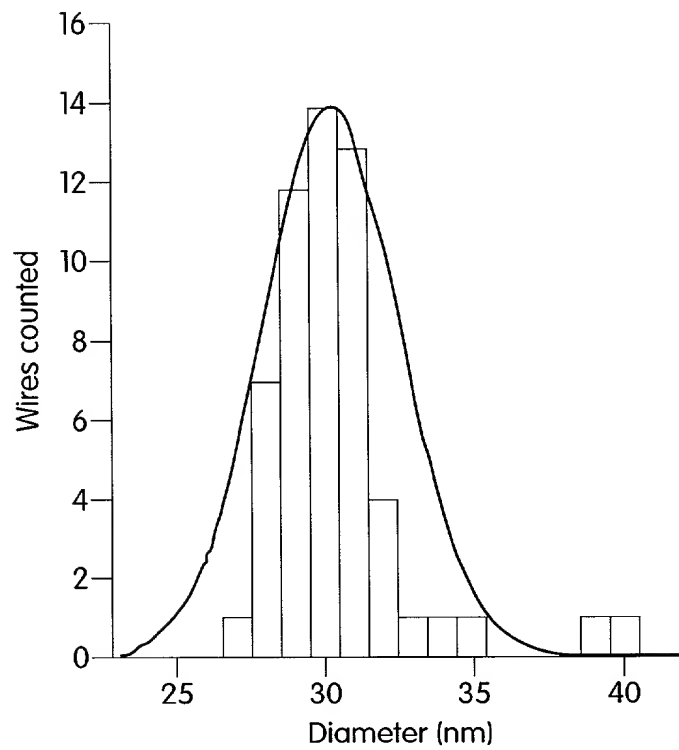


Fig. 14A

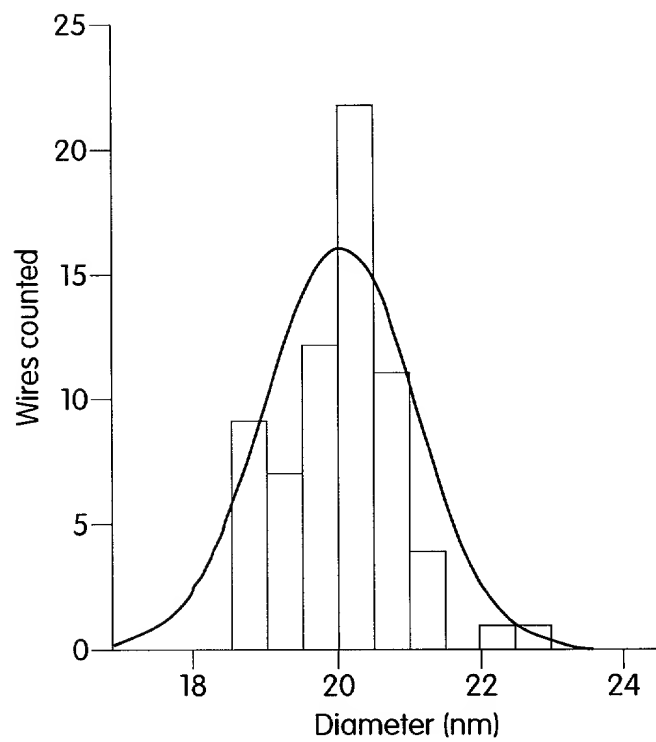


Fig. 14B

14/43

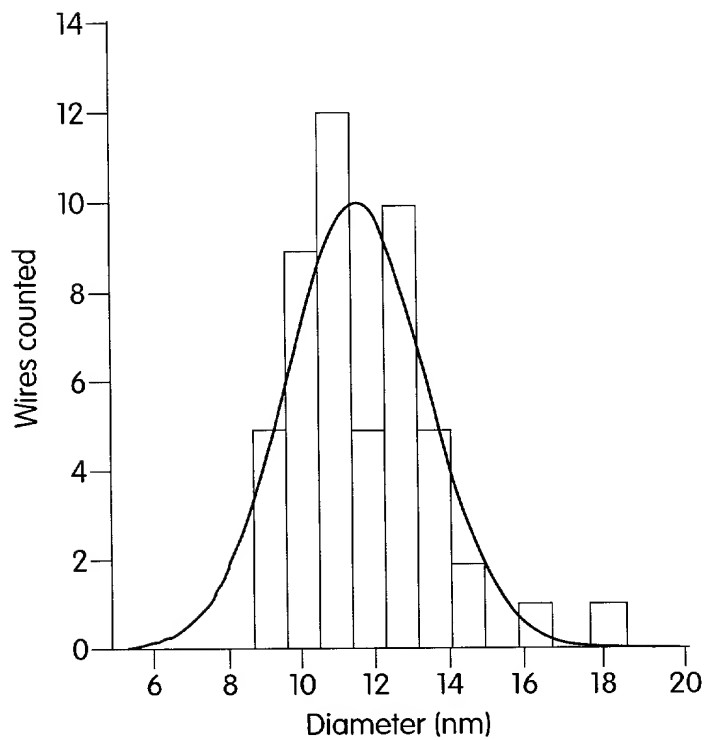


Fig. 14C

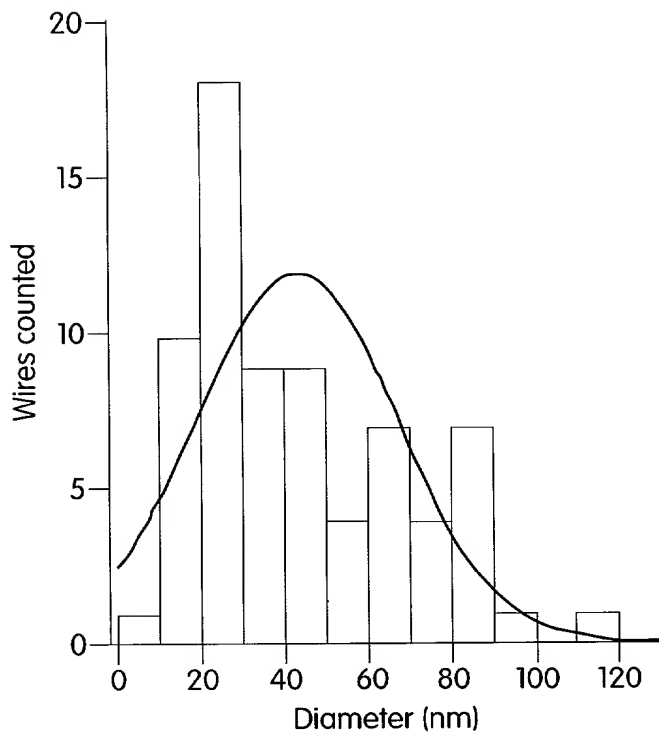


Fig. 14D

15/43

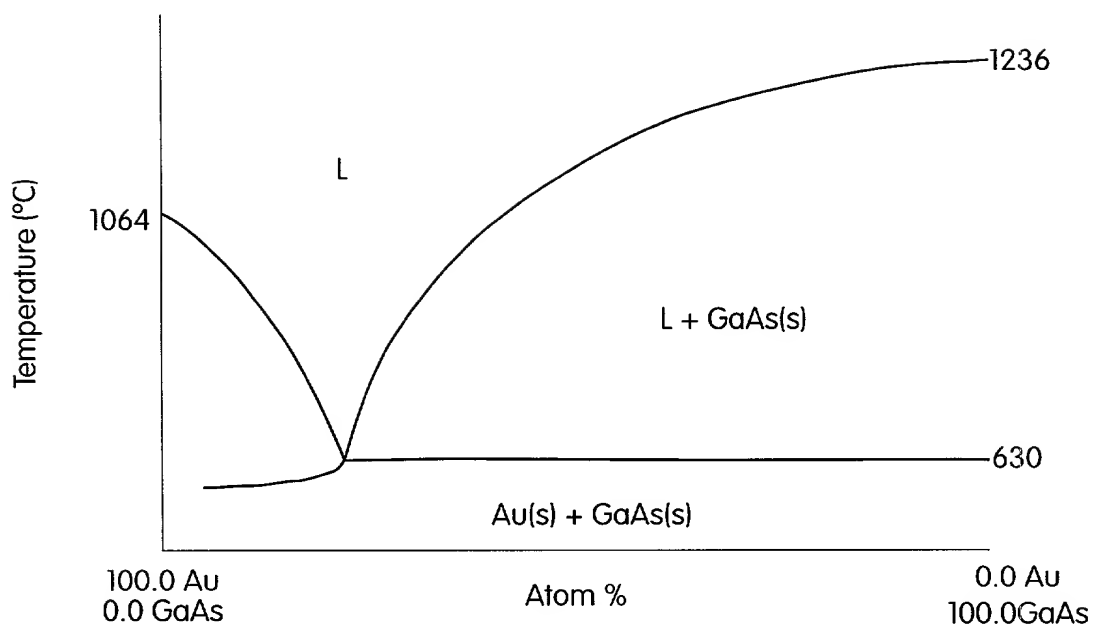


Fig. 15

16/43

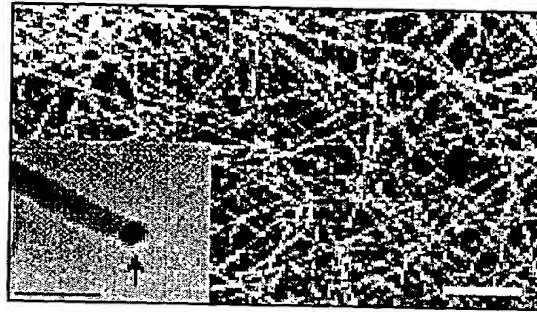


Fig. 16A

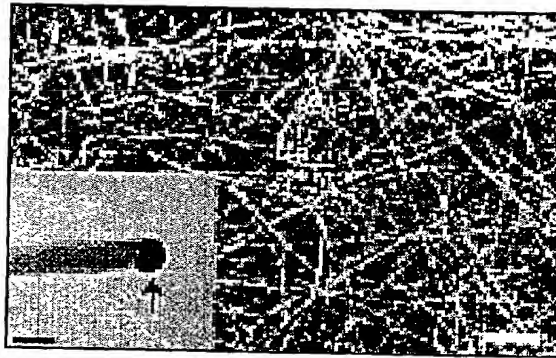


Fig. 16B

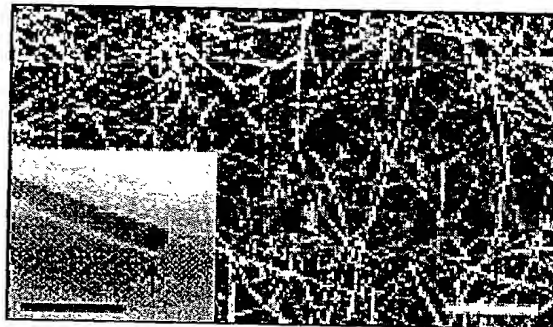


Fig. 16C

202 FEB 9 4 56 PM '99



17/43

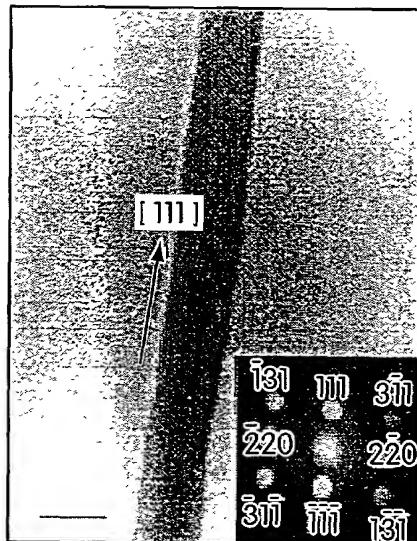


Fig. 17A

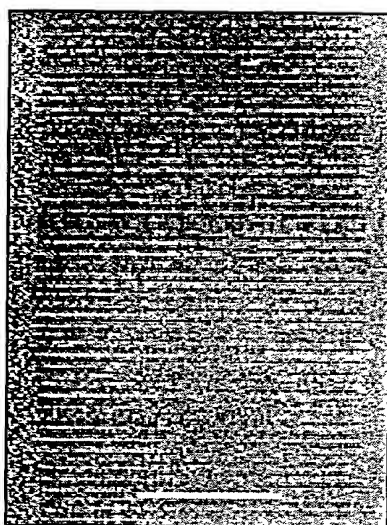


Fig. 17B

18/43

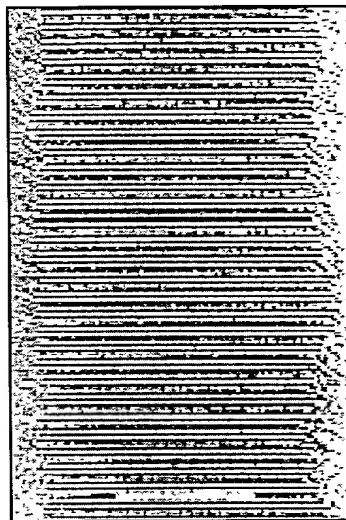


Fig. 17C

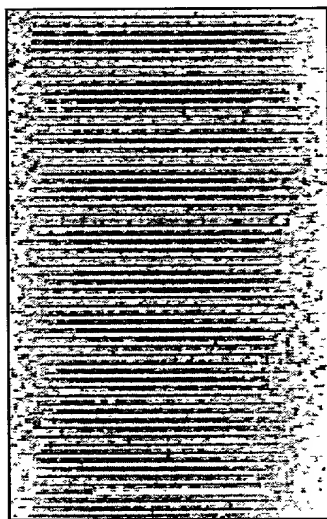


Fig. 17D

20250924 09:35:26.031202

19/43

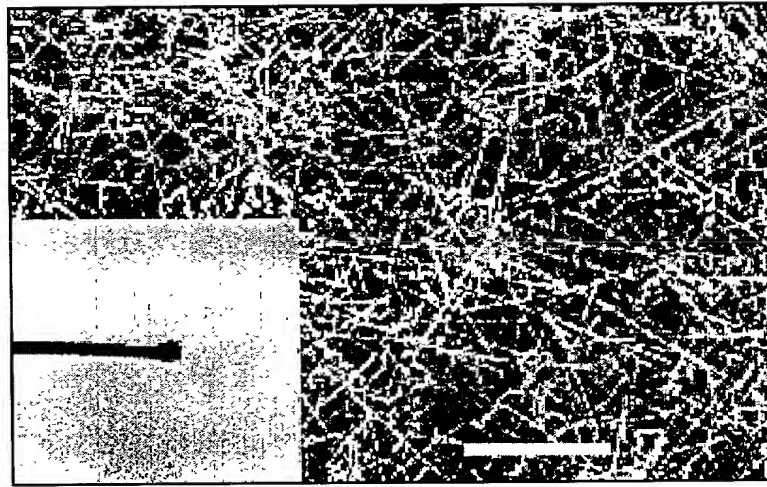


Fig. 18A

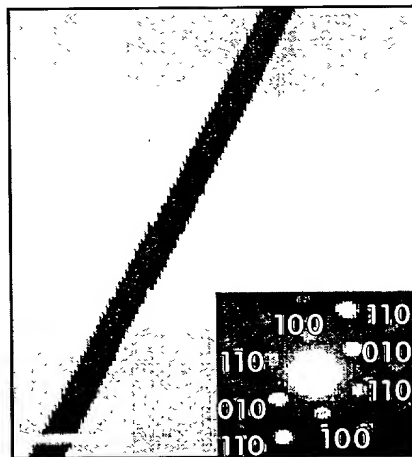


Fig. 18B

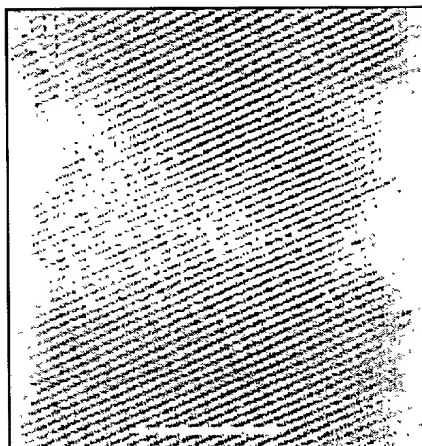


Fig. 18C

20250924 09:01:00

20/43

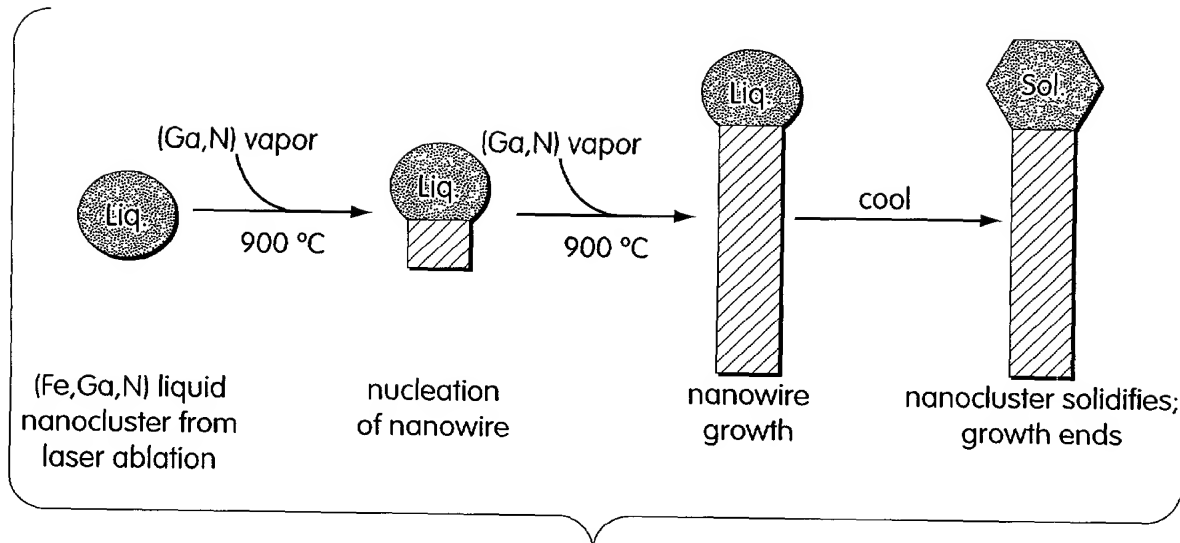


Fig. 19

21/43

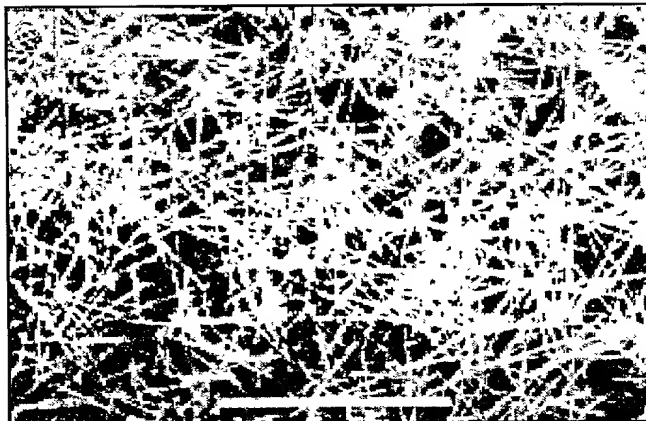


Fig. 20A

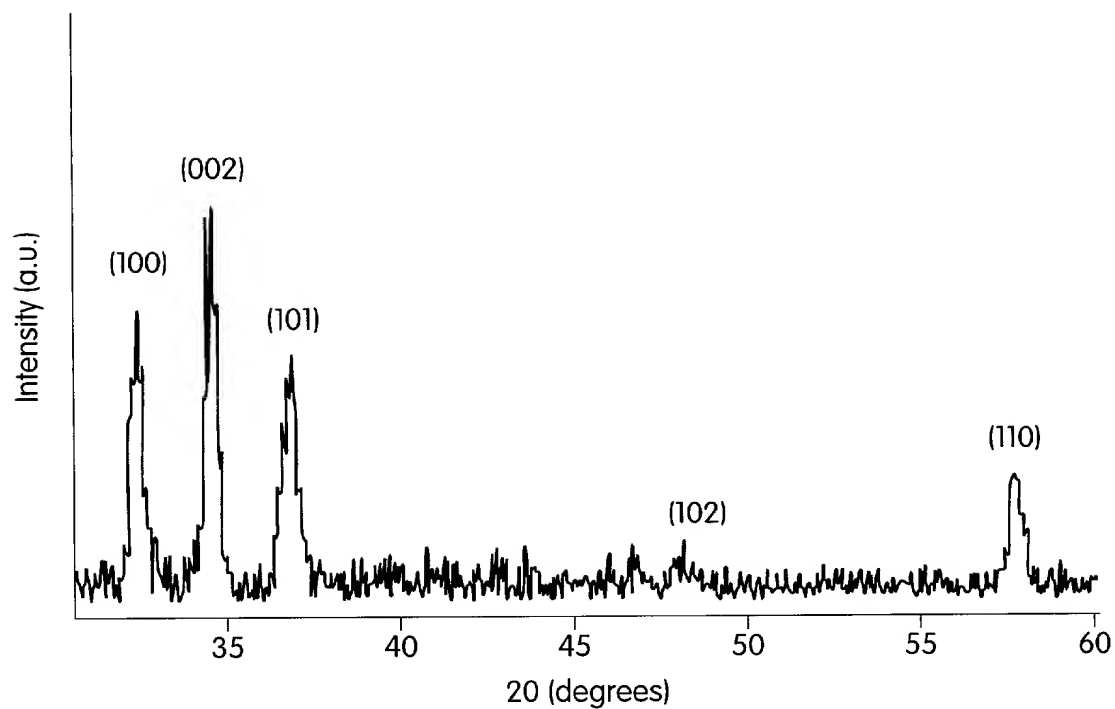


Fig. 20B

22/43

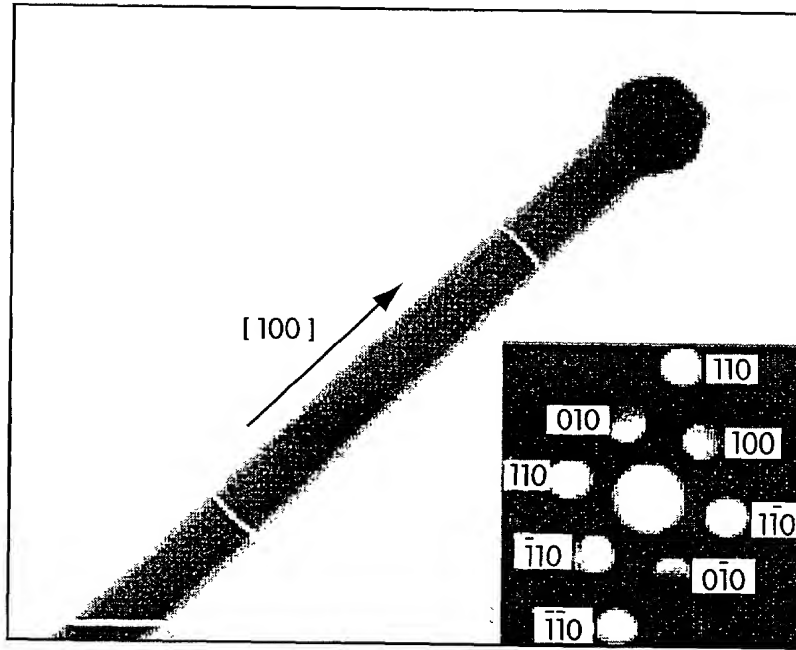


Fig. 21A

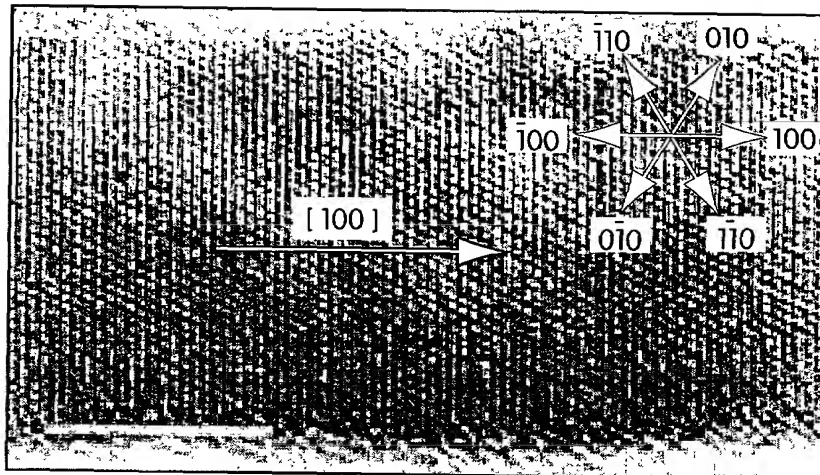


Fig. 21B

20250924 09:35:26

23/43

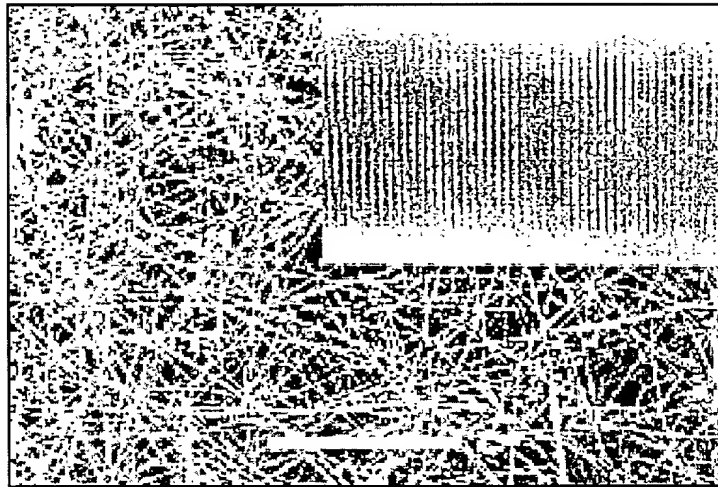


Fig. 22A

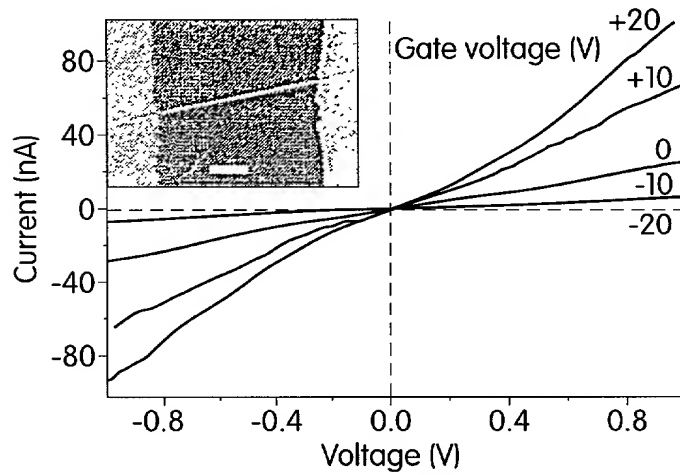


Fig. 22B

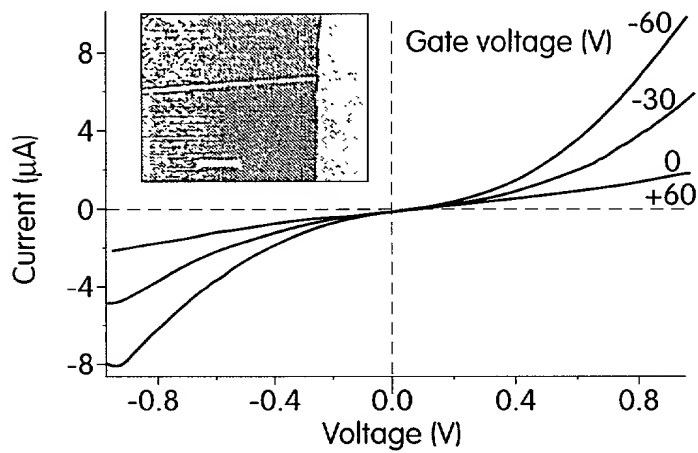


Fig. 22C

24/43

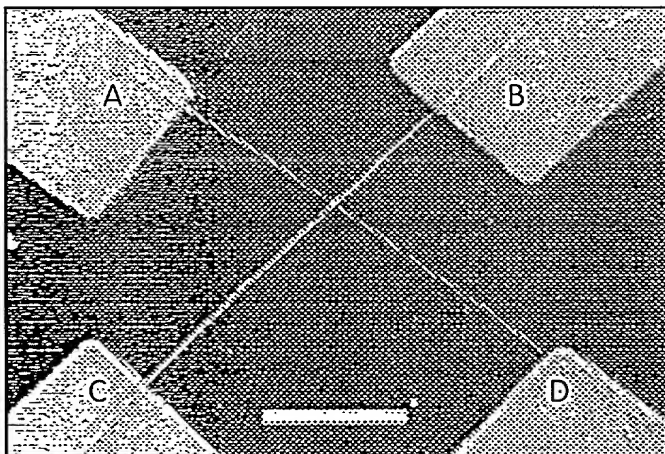


Fig. 23A

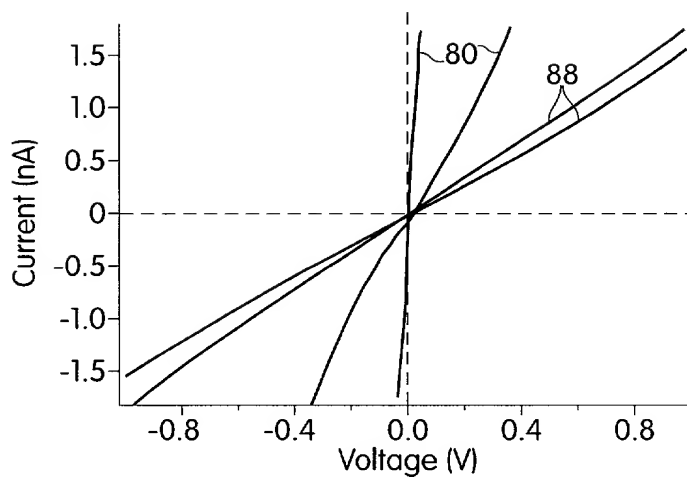


Fig. 23B



25/43

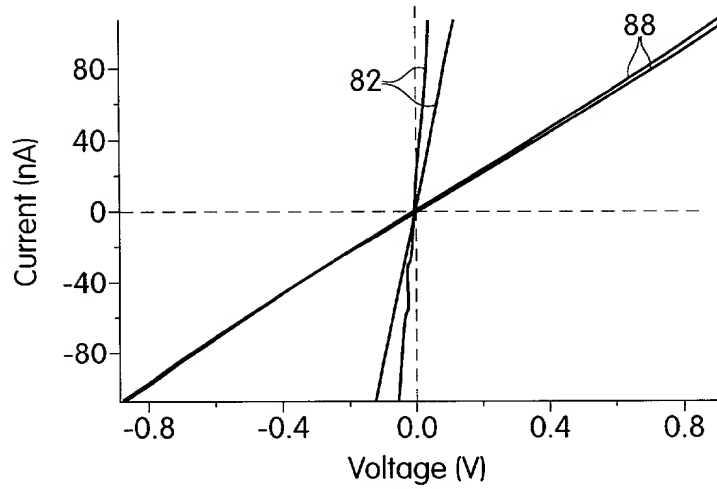


Fig. 23C

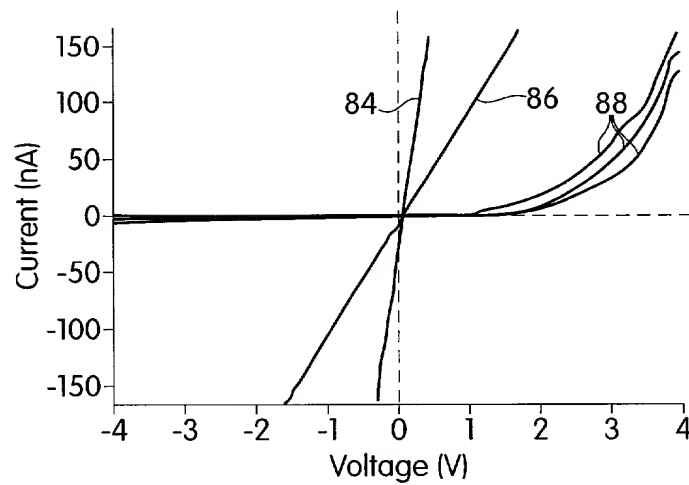


Fig. 23D

26/43

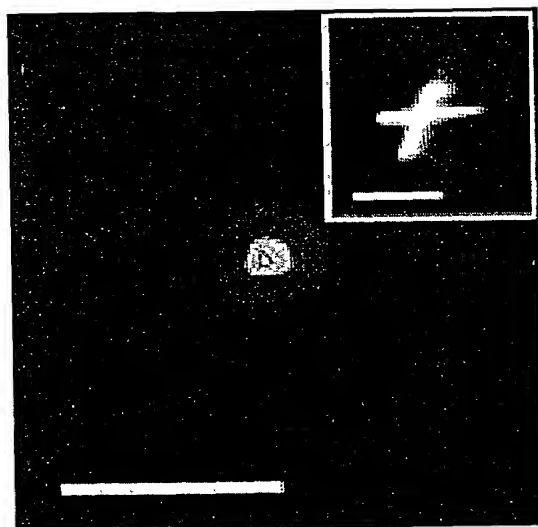


Fig. 24A

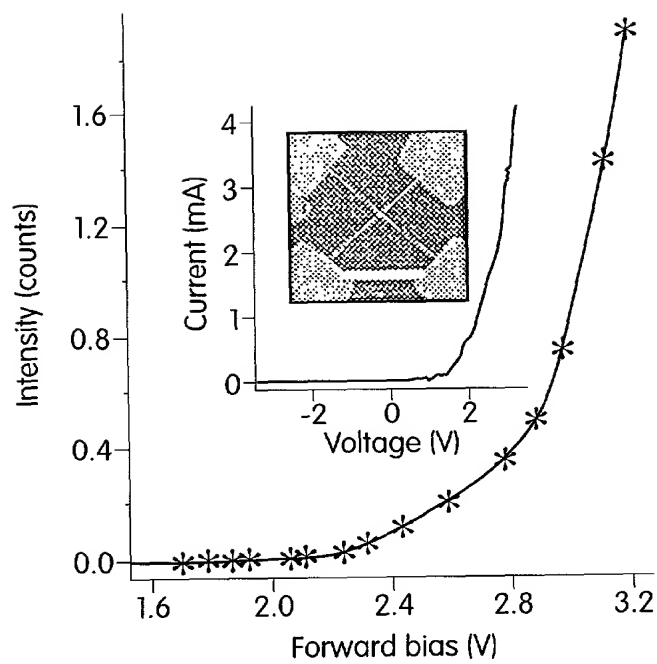


Fig. 24B

27/43

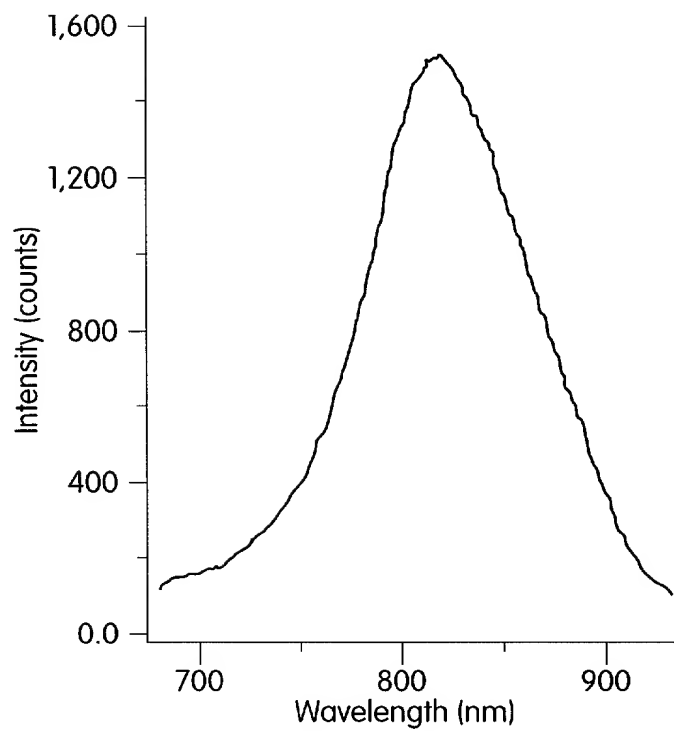


Fig. 24C

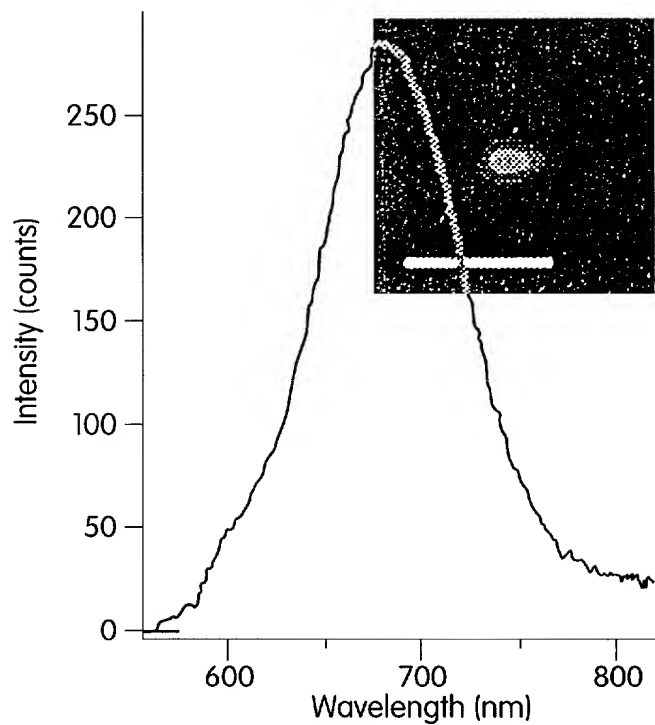


Fig. 24D

28/43

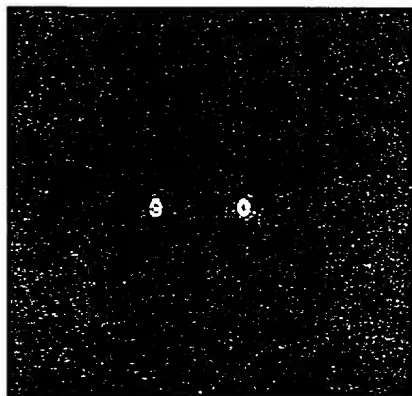


Fig. 25A

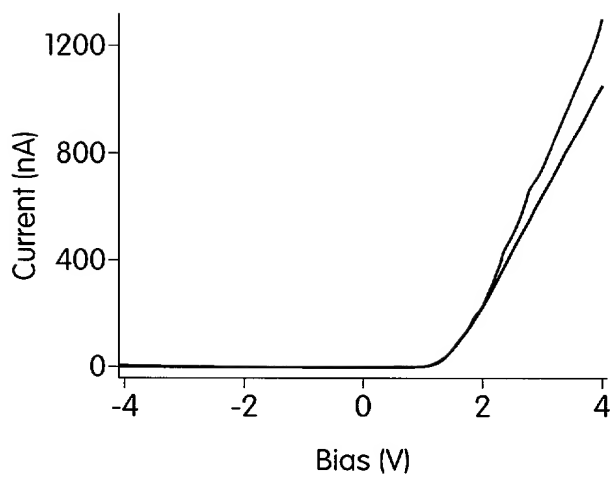


Fig. 25B

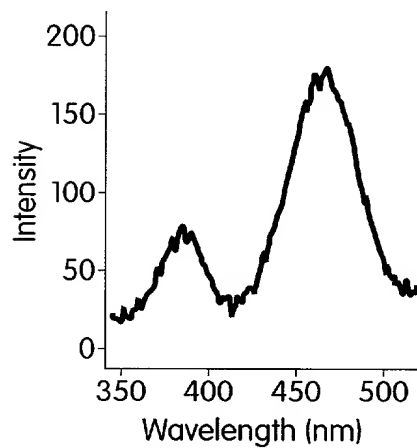


Fig. 25C

29/43

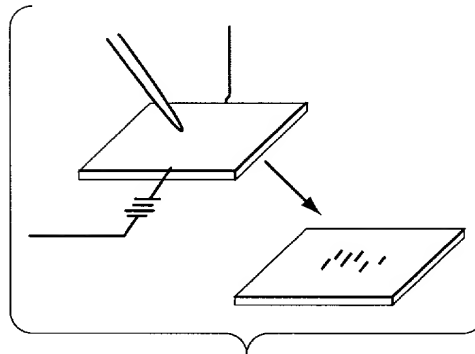


Fig. 26A

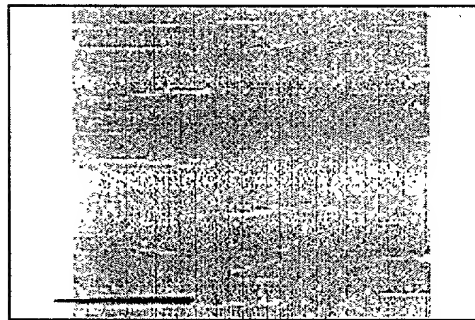


Fig. 26B

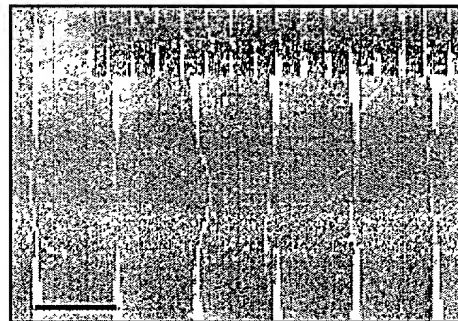


Fig. 26C

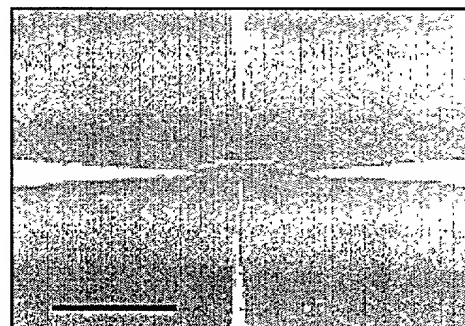


Fig. 26D

093576-03400  
20250924 093576

30/43

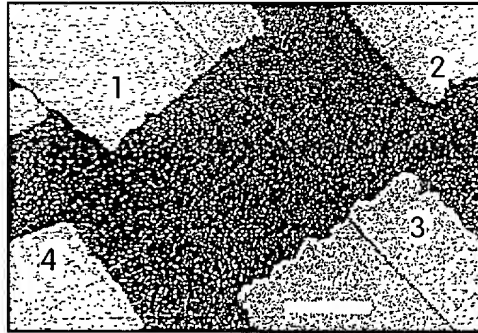


Fig. 27A

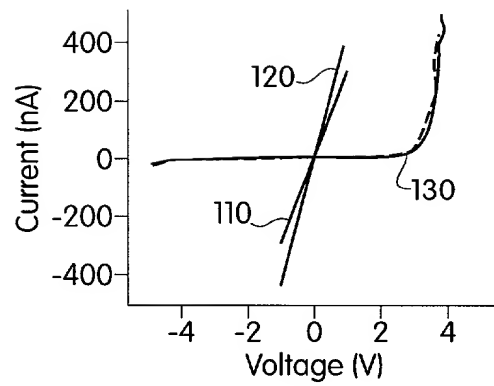


Fig. 27B

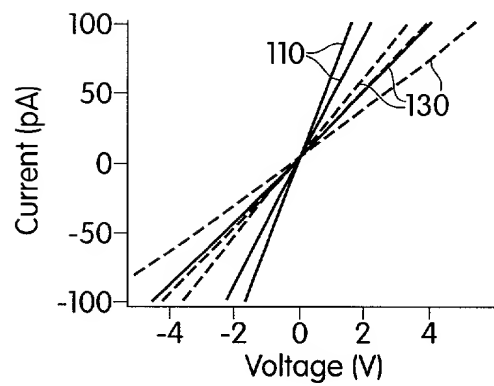


Fig. 27C

31/43

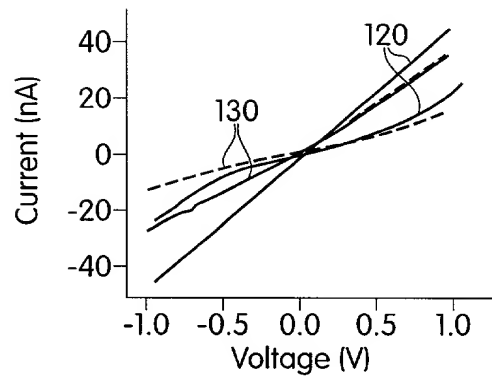
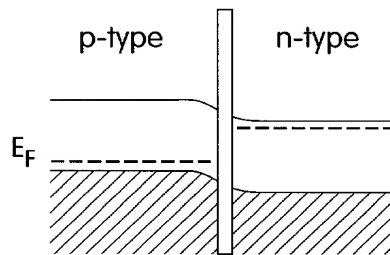
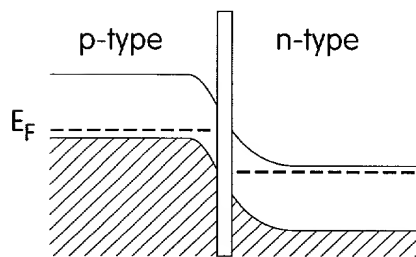


Fig. 27D



Forward bias

Fig. 27E



Reverse bias

Fig. 27F

32/43

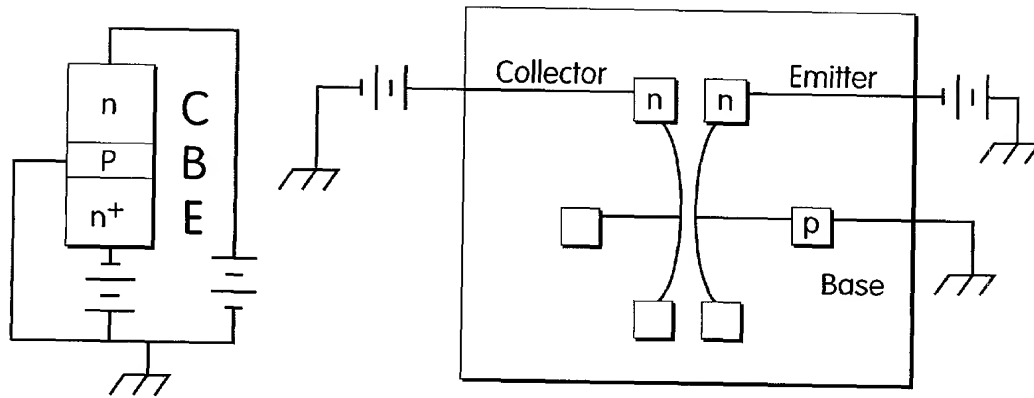


Fig. 28A

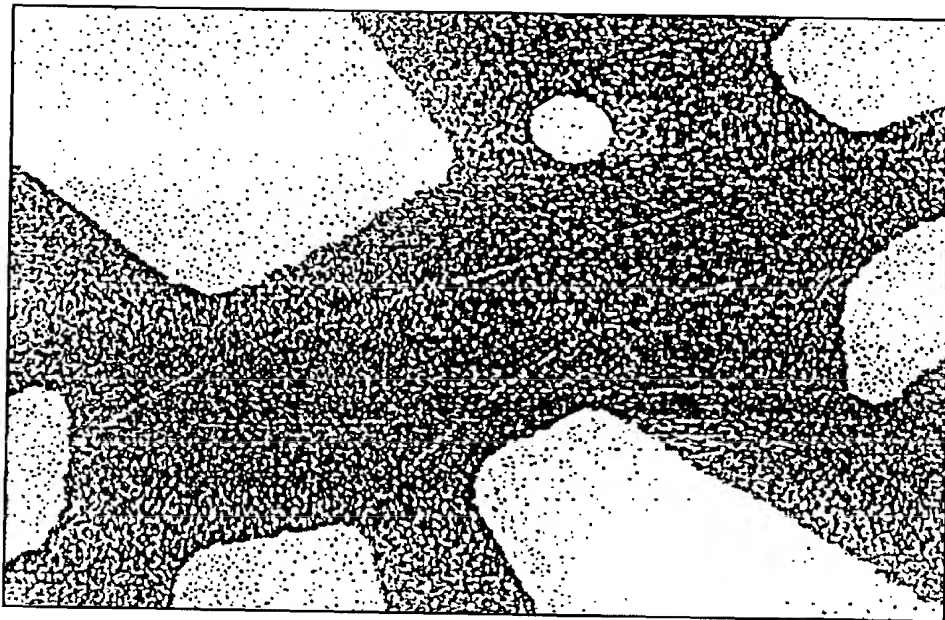


Fig. 28B

095576-0320



33/43

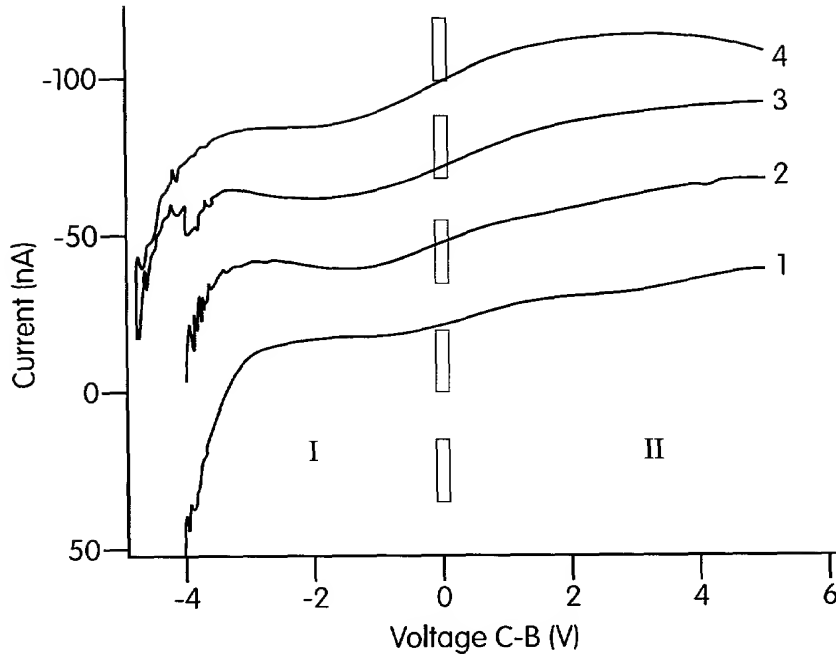


Fig. 28C

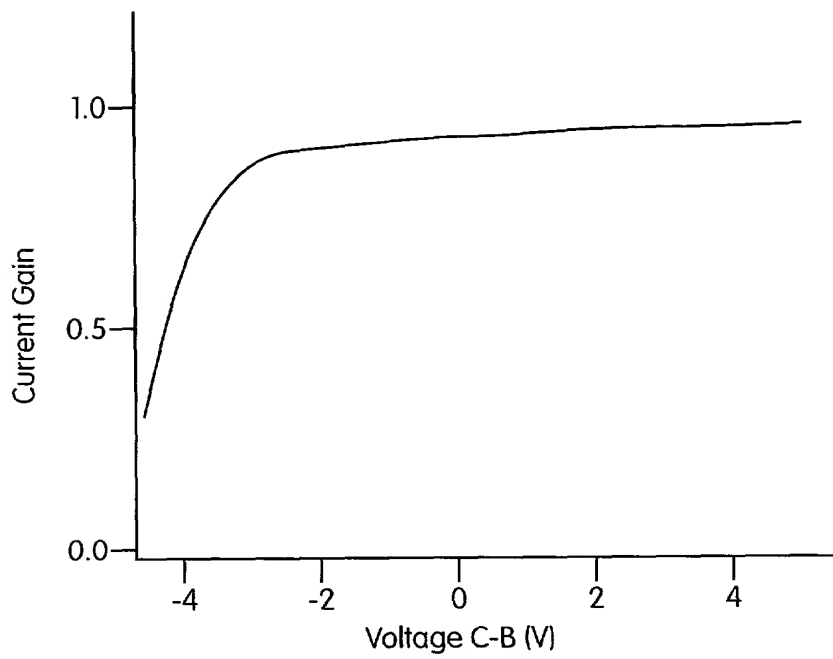


Fig. 28D

34/43

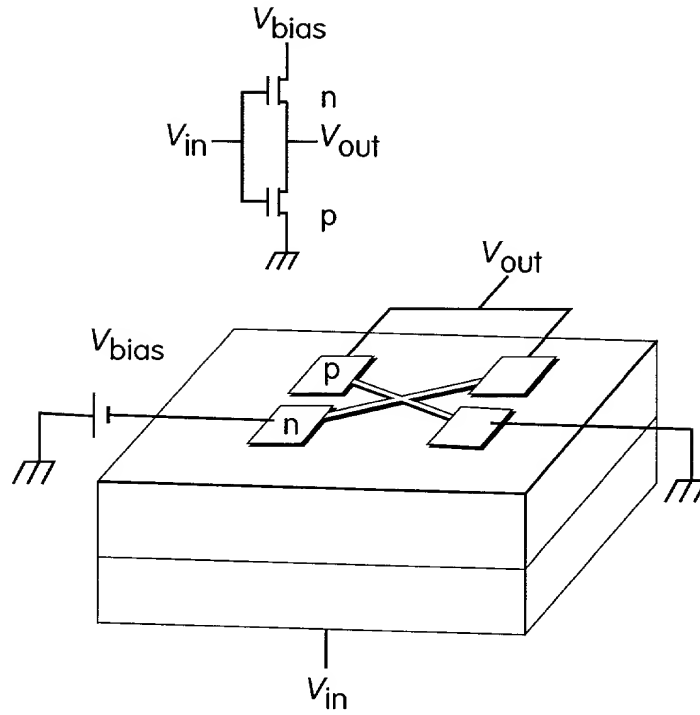


Fig. 29A

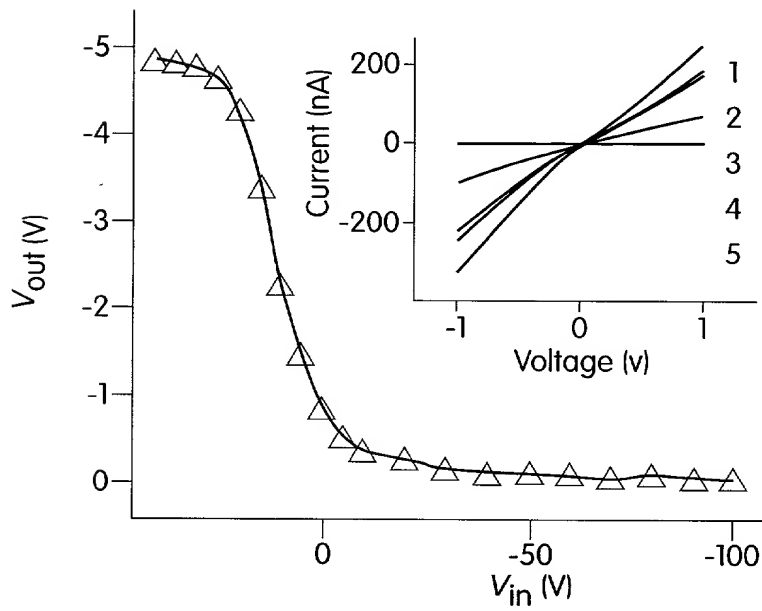


Fig. 29B

35/43

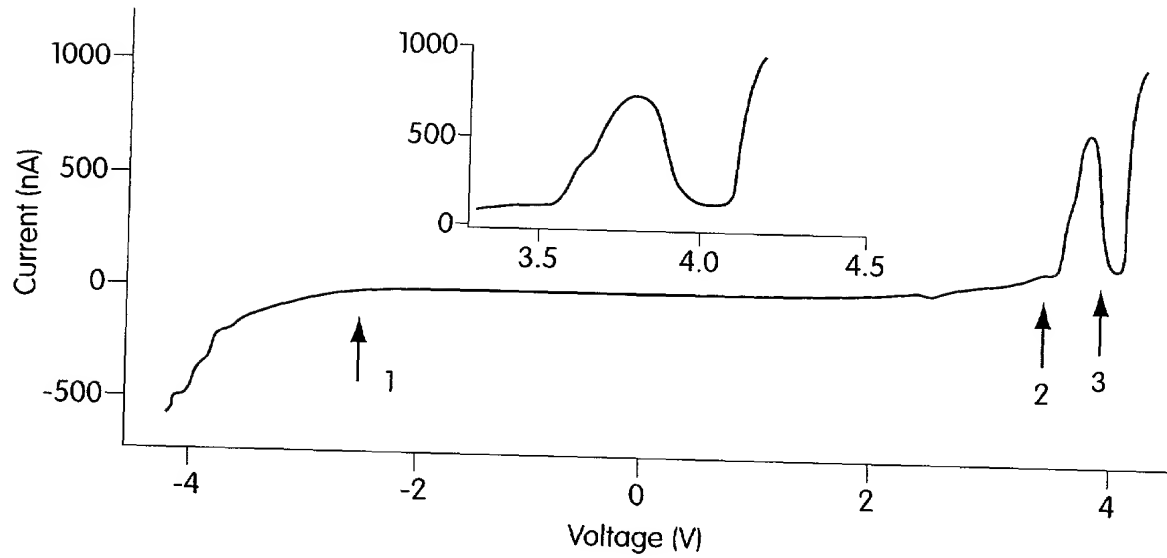


Fig. 29C

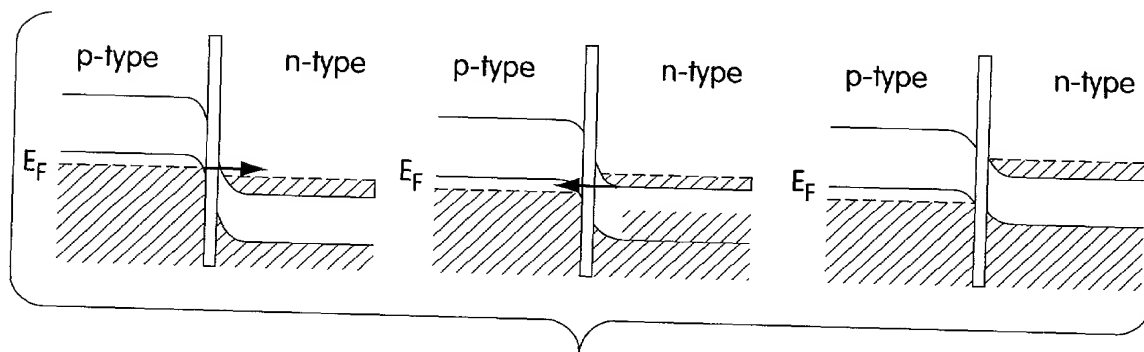
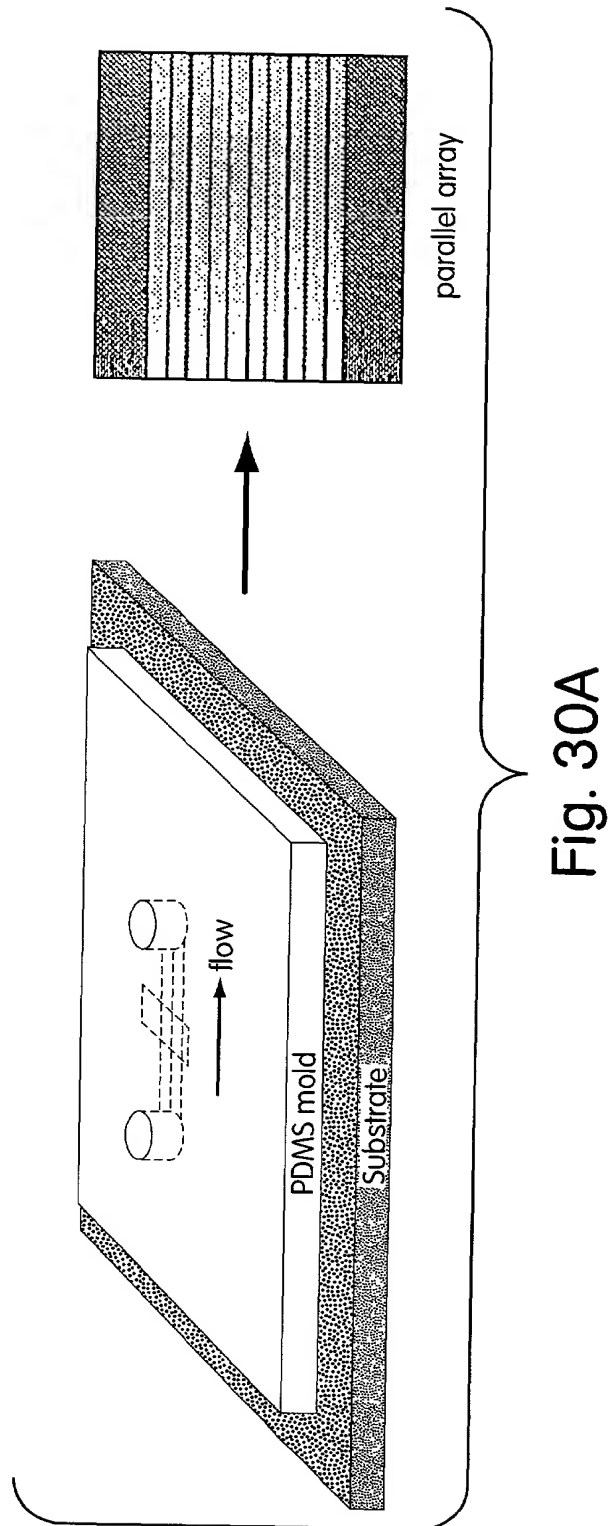


Fig. 29D

36/43



37/43

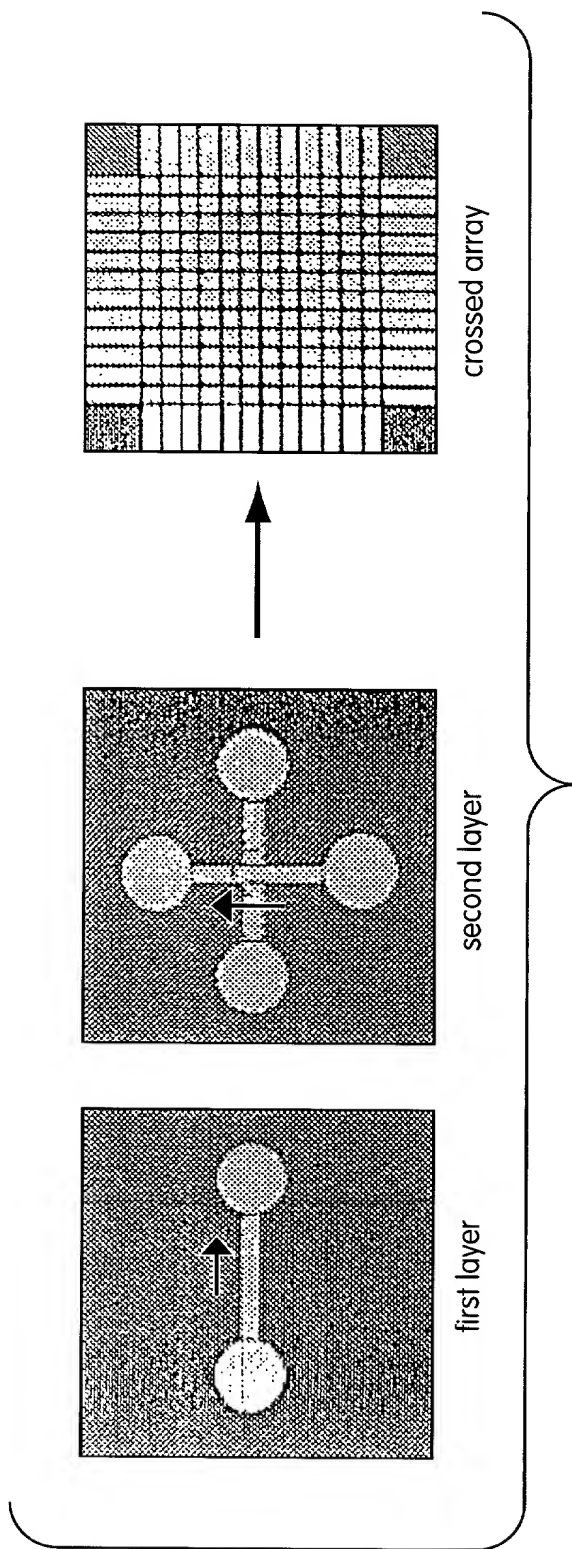


Fig. 30B

38/43

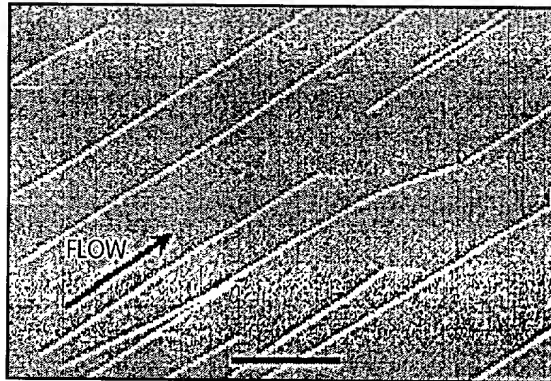


Fig. 31A

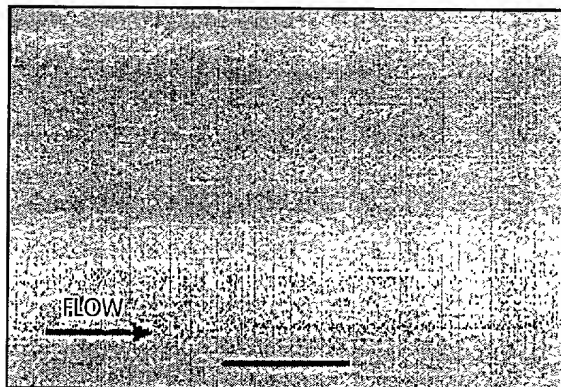


Fig. 31B

09935776.031203

39/43

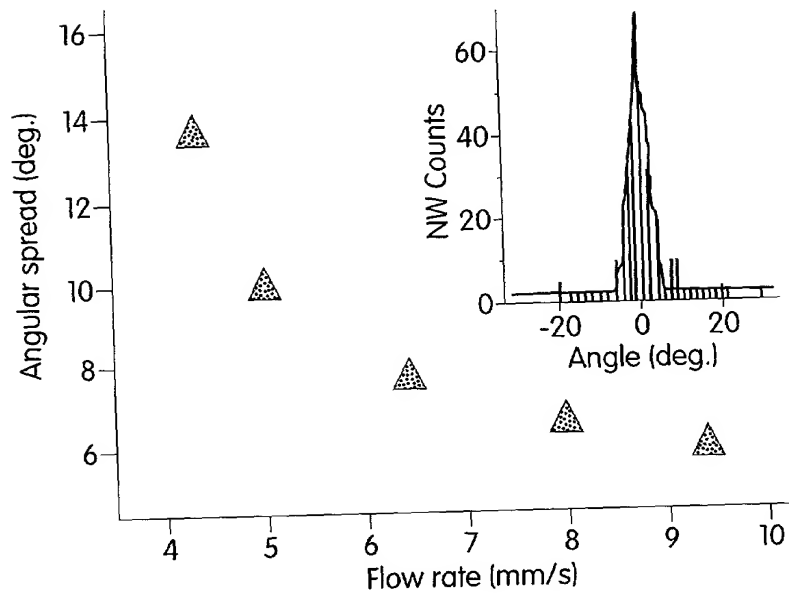


Fig. 31C

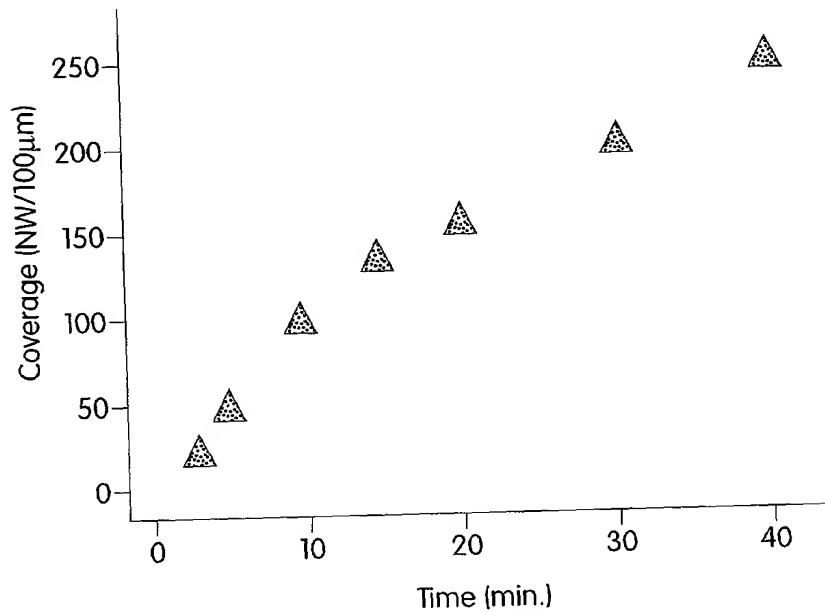


Fig. 31D

40/43

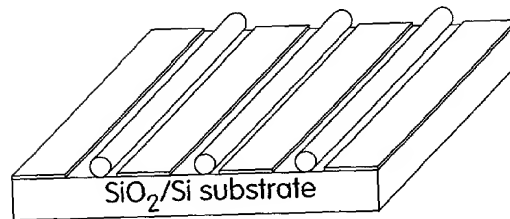


Fig. 32A

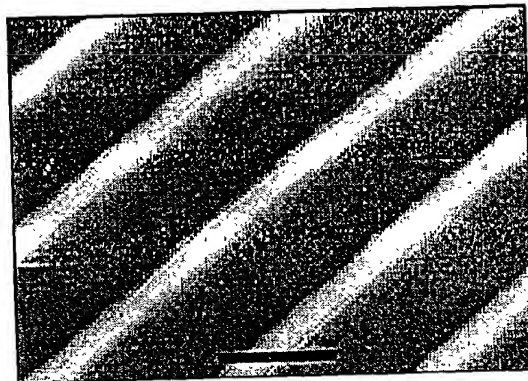


Fig. 32B

2027ED 9/25/60



41/43

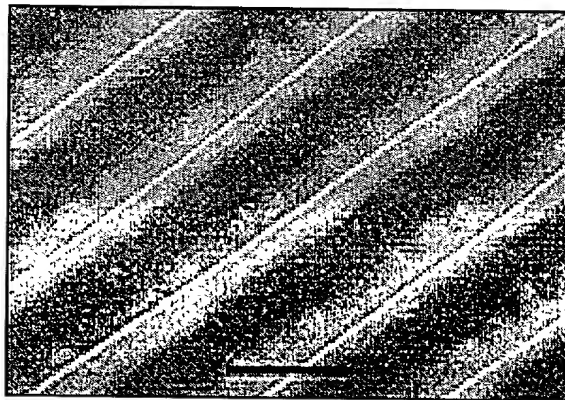


Fig. 32C

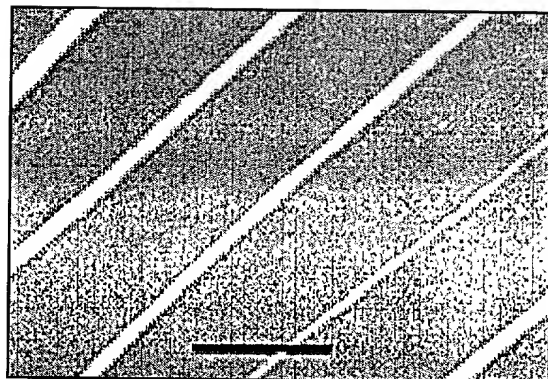


Fig. 32D

09/935/776-0343

42/43

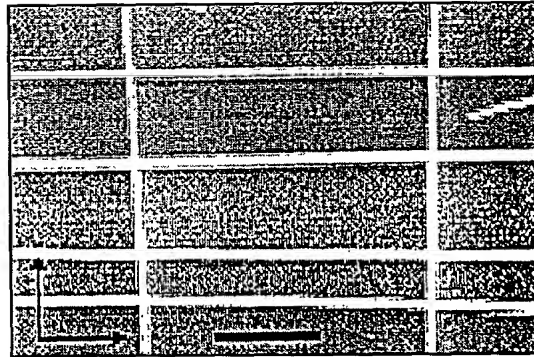


Fig. 33A

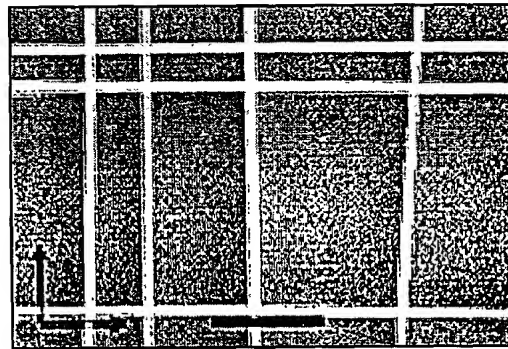


Fig. 33B

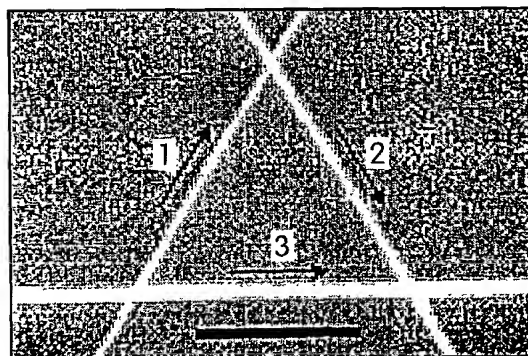


Fig. 33C

20250924SE650

43/43

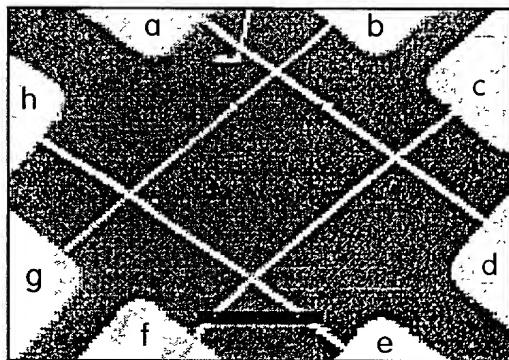


Fig. 33D

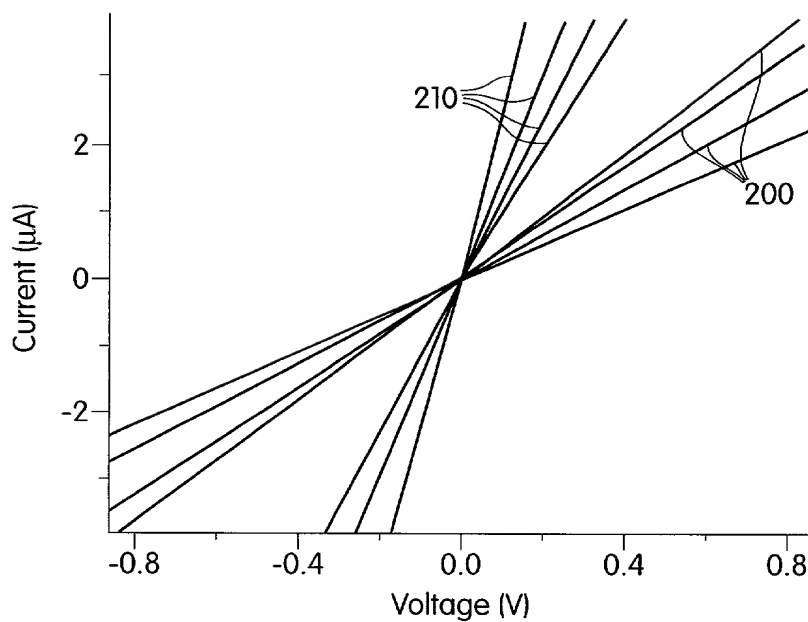


Fig. 33E

9409252560